

Coexistence d'espèces en compétition pour une ressource dans un milieu hétérogène

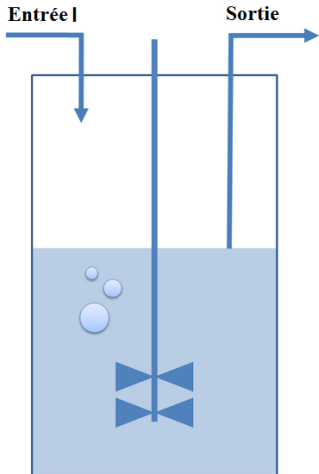
Sten Madec

Université de Rennes 1, IRMAR
Journée d'équipe ANUM

Plan

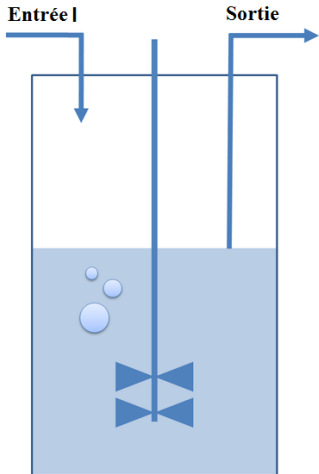
- 1 Modélisation et premiers résultats
 - Problème homogène
 - Problème de réaction-diffusion
 - Premiers résultats et problématique
- 2 Construction des solutions du problème stationnaire
 - Préliminaire
 - Une espèce
 - Deux espèces
- 3 Étude qualitative et interprétation
 - Comportement de c_1^* et c_2^*
 - Retour à la variation de la diffusion
- 4 Conclusion

Le Chemostat



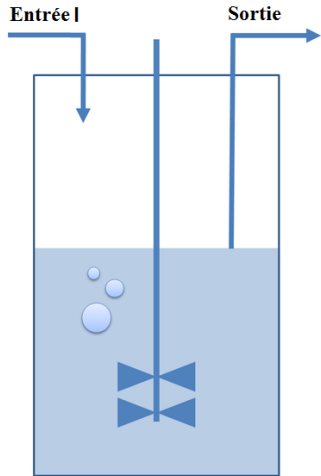
- N espèces U_i
- Une ressource R

Le Chemostat



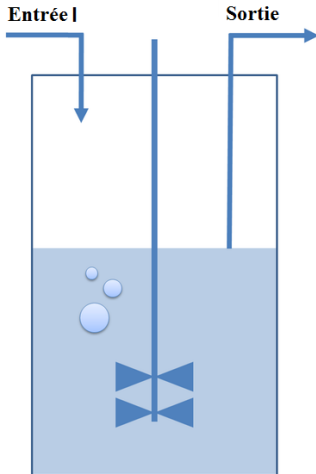
- N espèces U_i
- Une ressource R
- Flux entrant de ressource I

Le Chemostat



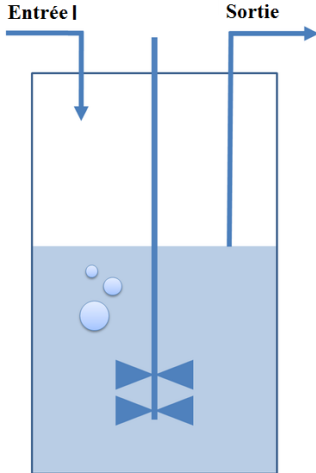
- N espèces U_i
- Une ressource R
- Flux entrant de ressource I
- Flux sortant δ

Le Chemostat



- N espèces U_i
- Une ressource R
- Flux entrant de ressource I
- Flux sortant δ
- Taux de consommation $f_i(R)$

Le Chemostat



- N espèces U_i
- Une ressource R
- Flux entrant de ressource I
- Flux sortant δ
- Taux de consommation $f_i(R)$
- Taux de croissance $\lambda_i f_i(R)$

Équation du problème homogène :

$$\left\{ \begin{array}{l} \frac{d}{dt} U_i(t) = (\lambda_i f_i(R(t)) - \delta) U_i(t), \quad i = 1, \dots, N \\ \frac{d}{dt} R(t) = I - \delta R(t) - \sum_{i=1}^N U_i(t) f_i(R(t)) \\ U_i(0) = U_{i0} > 0, \quad i = 1, \dots, N \\ R(0) = R_0 \geq 0 \end{array} \right.$$

Équation du problème homogène :

$$\left\{ \begin{array}{l} \frac{d}{dt} U_i(t) = (\lambda_i f_i(R(t)) - m_i) U_i(t), \quad i = 1, \dots, N \\ \frac{d}{dt} R(t) = I - \delta R(t) - \sum_{i=1}^N U_i(t) f_i(R(t)) \\ U_i(0) = U_{i0} > 0, \quad i = 1, \dots, N \\ R(0) = R_0 \geq 0 \end{array} \right.$$

Équation du problème homogène :

$$\left\{ \begin{array}{l} \frac{d}{dt} U_i(t) = (\lambda_i f_i(R(t)) - m_i) U_i(t), \quad i = 1, \dots, N \\ \frac{d}{dt} R(t) = I - \delta R(t) - \sum_{i=1}^N U_i(t) f_i(R(t)) \\ U_i(0) = U_{i0} > 0, \quad i = 1, \dots, N \\ R(0) = R_0 \geq 0 \end{array} \right.$$

Plusieurs types classiques de fonctions de consommation

- $f_i(R) = C_i R$
- $f_i(R) = \frac{a_i R}{K_i + R}$

Équation du problème homogène :

$$\begin{cases} \frac{d}{dt} U_i(t) = (\lambda_i C_i R(t) - m_i) U_i(t), & i = 1, \dots, N \\ \frac{d}{dt} R(t) = I - \delta R(t) - \sum_{i=1}^N U_i(t) C_i R(t) \\ U_i(0) = U_{i0} > 0, & i = 1, \dots, N \\ R(0) = R_0 \geq 0 \end{cases}$$

Plusieurs types classiques de fonctions de consommation

- $f_i(R) = C_i R$
- $f_i(R) = \frac{a_i R}{K_i + R}$

On se contentera du cas le plus simple

Problème stationnaire, de solution (U_i^{eq}, R^{eq}) (*P. Waltman, 1977*)

- Grandeur caractéristique d'une espèce : $R_i^* = \frac{m_i}{\lambda_i C_i}$

Problème stationnaire, de solution (U_i^{eq}, R^{eq}) (*P. Waltman, 1977*)

- Grandeur caractéristique d'une espèce : $R_i^* = \frac{m_i}{\lambda_i C_i}$
- Si les R_i^* sont tous différents, $N+1$ états d'équilibres

Problème stationnaire, de solution (U_i^{eq}, R^{eq}) (*P. Waltman, 1977*)

- Grandeur caractéristique d'une espèce : $R_i^* = \frac{m_i}{\lambda_i C_i}$
- Si les R_i^* sont tous différents, $N+1$ états d'équilibres
- Un seul stable, R^{eq} minimum

Problème stationnaire, de solution (U_i^{eq}, R^{eq}) (*P. Waltman, 1977*)

- Grandeur caractéristique d'une espèce : $R_i^* = \frac{m_i}{\lambda_i C_i}$
- Si les R_i^* sont tous différents, $N+1$ états d'équilibres
- Un seul stable, R^{eq} minimum
- Stabilité globale (fonction de Lyapunov)

Problème stationnaire, de solution (U_i^{eq}, R^{eq}) (*P. Waltman, 1977*)

- Grandeur caractéristique d'une espèce : $R_i^* = \frac{m_i}{\lambda_i C_i}$
- Si les R_i^* sont tous différents, $N+1$ états d'équilibres
- Un seul stable, R^{eq} minimum
- Stabilité globale (fonction de Lyapunov)

Proposition

Chemostat homogène \Rightarrow Exclusion compétitive

Plan

- 1 **Modélisation et premiers résultats**
 - Problème homogène
 - **Problème de réaction-diffusion**
 - Premiers résultats et problématique
- 2 Construction des solutions du problème stationnaire
 - Préliminaire
 - Une espèce
 - Deux espèces
- 3 Étude qualitative et interprétation
 - Comportement de c_1^* et c_2^*
 - Retour à la variation de la diffusion
- 4 Conclusion

$\Omega \subset \mathbb{R}^N$, $N = 1, 2, 3$

$C_i, m_i, l, \delta : \Omega \rightarrow \mathbb{R}_+^*$ régulières. $\lambda_i, a_i, b \in \mathbb{R}_+^*$

Pour $t > 0$

$$(S_N) \left\{ \begin{array}{l} \partial_t U_i = (\lambda_i C_i U_i - m_i) U_i + a_i \Delta U_i, \quad \text{dans } \Omega, \quad i = 1 \cdots N \\ \partial_t R = l - \left(\sum_{i=1}^N C_i U_i + \delta \right) R + b \Delta R, \quad \text{dans } \Omega \\ \partial_\eta U_i(t, \cdot) = 0, \quad \text{dans } \partial\Omega, \quad i = 1 \cdots N \\ \partial_\eta R(t, \cdot) = 0, \quad \text{dans } \partial\Omega \\ \text{Conditions initiales} > 0 \end{array} \right.$$

Proposition

Pour tout $T > 0$ le système (S_N) admet une unique solution classique positive.

Proposition

Pour tout $T > 0$ le système (S_N) admet une unique solution classique positive.

Proposition

Les solutions de (S_N) sont bornées uniformément en temps.

Voir *S.L. Hollis, R.H. Martin, et M. Pierre, 1987*

Plan

- 1 Modélisation et premiers résultats
 - Problème homogène
 - Problème de réaction-diffusion
 - Premiers résultats et problématique
- 2 Construction des solutions du problème stationnaire
 - Préliminaire
 - Une espèce
 - Deux espèces
- 3 Étude qualitative et interprétation
 - Comportement de c_1^* et c_2^*
 - Retour à la variation de la diffusion
- 4 Conclusion

Petites diffusions :

$$(\mathcal{S}_\varepsilon) \left\{ \begin{array}{l} \partial_t U_i = (\lambda_i C_i R - m_i) U_i + \varepsilon a_i \Delta U_i \\ \partial_t R = I - \left(\sum_{i=1}^N C_i U_i + \delta \right) R + \varepsilon b \Delta R \\ \partial_\eta U_i(t, \cdot) = 0 \\ \partial_\eta R(t, \cdot) = 0 \\ \text{conditions initiales} > 0 \end{array} \right.$$

Petites diffusions :

$$(\mathcal{S}_\varepsilon) \left\{ \begin{array}{l} \partial_t U_i = (\lambda_i C_i R - m_i) U_i + \varepsilon a_i \Delta U_i \\ \partial_t R = I - \left(\sum_{i=1}^N C_i U_i + \delta \right) R + \varepsilon b \Delta R \\ \partial_\eta U_i(t, \cdot) = 0 \\ \partial_\eta R(t, \cdot) = 0 \\ \text{conditions initiales} > 0 \end{array} \right.$$

- Perturbation autour de la solution $\varepsilon = 0$

Petites diffusions :

$$(\mathcal{S}_\varepsilon) \left\{ \begin{array}{l} \partial_t U_i = (\lambda_i C_i R - m_i) U_i + \varepsilon a_i \Delta U_i \\ \partial_t R = I - \left(\sum_{i=1}^N C_i U_i + \delta \right) R + \varepsilon b \Delta R \\ \partial_\eta U_i(t, \cdot) = 0 \\ \partial_\eta R(t, \cdot) = 0 \\ \text{conditions initiales} > 0 \end{array} \right.$$

- Perturbation autour de la solution $\varepsilon = 0$
- Coexistence

Grandes diffusions :

$$\left(\mathcal{S}_{\frac{1}{\varepsilon}} \right) \begin{cases} \partial_t U_i = (\lambda_i C_i R - m_i) U_i + \frac{1}{\varepsilon} a_i \Delta U_i \\ \partial_t R = l - (\sum_{i=1}^N C_i U_i + \delta) R + \frac{1}{\varepsilon} b \Delta R \\ \partial_\eta U_i(t, \cdot) = 0 \\ \partial_\eta R(t, \cdot) = 0 \\ CI > 0 \end{cases}$$

Grandes diffusions :

$$\left(\mathcal{S}_{\frac{1}{\varepsilon}} \right) \begin{cases} \partial_t U_i = (\lambda_i C_i R - m_i) U_i + \frac{1}{\varepsilon} a_i \Delta U_i \\ \partial_t R = l - (\sum_{i=1}^N C_i U_i + \delta) R + \frac{1}{\varepsilon} b \Delta R \\ \partial_\eta U_i(t, \cdot) = 0 \\ \partial_\eta R(t, \cdot) = 0 \\ CI > 0 \end{cases}$$

Problème agrégé :

$$\left(\mathcal{S}_{ag} \right) \begin{cases} \partial_t u_i = (\lambda_i \tilde{C}_i r - \tilde{m}_i) u_i \\ \partial_t r = \tilde{l} - (\sum_{i=1}^N \tilde{C}_i u_i + \tilde{\delta}) r \\ \text{conditions initiales} > 0 \end{cases}$$

Grandes diffusions :

$$\left(\mathcal{S}_{\frac{1}{\varepsilon}} \right) \begin{cases} \partial_t U_i = (\lambda_i C_i R - m_i) U_i + \frac{1}{\varepsilon} a_i \Delta U_i \\ \partial_t R = I - (\sum_{i=1}^N C_i U_i + \delta) R + \frac{1}{\varepsilon} b \Delta R \\ \partial_\eta U_i(t, \cdot) = 0 \\ \partial_\eta R(t, \cdot) = 0 \\ CI > 0 \end{cases}$$

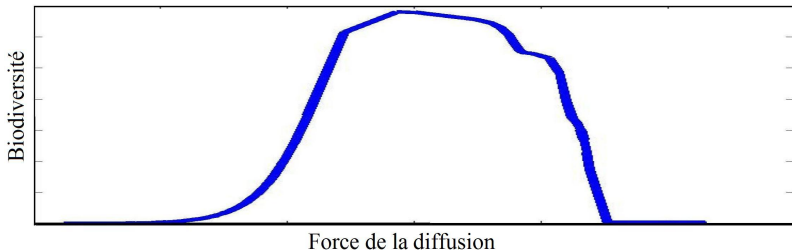
Problème agrégé :

$$\left(\mathcal{S}_{ag} \right) \begin{cases} \partial_t u_i = (\lambda_i \tilde{C}_i r - \tilde{m}_i) u_i \\ \partial_t r = \tilde{I} - (\sum_{i=1}^N \tilde{C}_i u_i + \tilde{\delta}) r \\ \text{conditions initiales} > 0 \end{cases}$$

- Variété centrale \Rightarrow Pas de coexistence

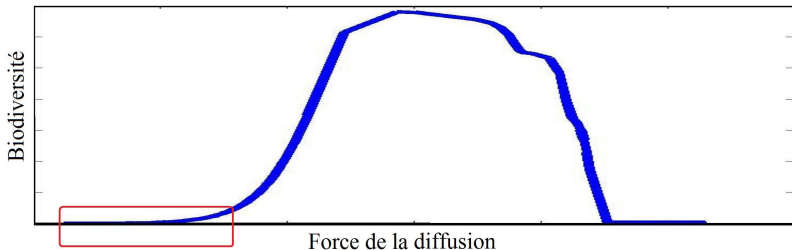
$$\text{Biomasse totale en } x : P(x) = \sum_{i=1}^N U_i(x)$$

$$\text{Fonction de biodiversité : } H = - \int_{\Omega} \sum_{i=1}^N \frac{U_i(x)}{P(x)} \ln \frac{U_i(x)}{P(x)}$$



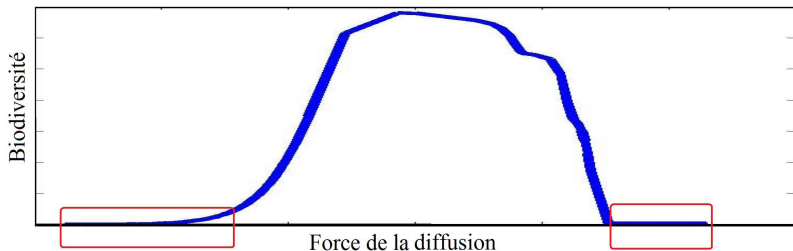
$$\text{Biomasse totale en } x : P(x) = \sum_{i=1}^N U_i(x)$$

$$\text{Fonction de biodiversité : } H = - \int_{\Omega} \sum_{i=1}^N \frac{U_i(x)}{P(x)} \ln \frac{U_i(x)}{P(x)}$$



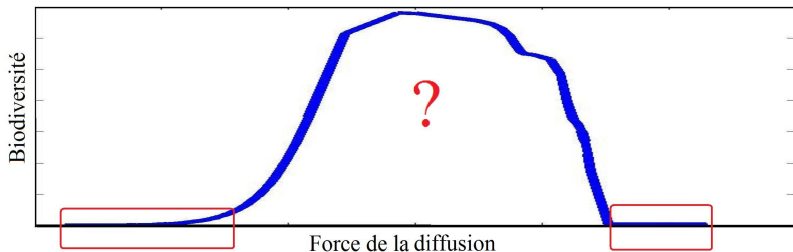
$$\text{Biomasse totale en } x : P(x) = \sum_{i=1}^N U_i(x)$$

$$\text{Fonction de biodiversité : } H = - \int_{\Omega} \sum_{i=1}^N \frac{U_i(x)}{P(x)} \ln \frac{U_i(x)}{P(x)}$$



$$\text{Biomasse totale en } x : P(x) = \sum_{i=1}^N U_i(x)$$

$$\text{Fonction de biodiversité : } H = - \int_{\Omega} \sum_{i=1}^N \frac{U_i(x)}{P(x)} \ln \frac{U_i(x)}{P(x)}$$



Que se passe-t-il dans les cas intermédiaires ?

Plan

- 1 Modélisation et premiers résultats
 - Problème homogène
 - Problème de réaction-diffusion
 - Premiers résultats et problématique
- 2 Construction des solutions du problème stationnaire
 - Préliminaire
 - Une espèce
 - Deux espèces
- 3 Étude qualitative et interprétation
 - Comportement de c_1^* et c_2^*
 - Retour à la variation de la diffusion
- 4 Conclusion

Problème stationnaire :

$$(S_N) \begin{cases} A_i U_i - C_i R U_i = 0 & i = 1 \dots N \\ BR + \sum_{i=1}^N C_i U_i R = I \\ \partial_\eta U_i = \partial_\eta R = 0 \end{cases}$$

Où $A_i = m_i - a_i \Delta$ et $B = \delta - b \Delta$

Problème stationnaire :

$$(S_N) \begin{cases} A_i U_i - C_i R U_i = 0 & i = 1 \dots N \\ BR + \sum_{i=1}^N C_i U_i R = I \\ \partial_\eta U_i = \partial_\eta R = 0 \end{cases}$$

Où $A_i = m_i - a_i \Delta$ et $B = \delta - b \Delta$

Si $A_i = B$ alors $B \left(\sum_{i=1}^N U_i + R \right) = I$

Cas particulier $m_i/a_i = \delta/b$

(Dim 1, *P. Waltmann*, 1993. Dim qcq, *J.H. Wu*, 1998)

Cas particulier $m_i/a_i = \delta/b$

(Dim 1, *P. Waltmann*, 1993. Dim qcq, *J.H. Wu*, 1998)

- Élimination de l'équation sur R

Cas particulier $m_i/a_i = \delta/b$

(Dim 1, *P. Waltmann*, 1993. Dim qcq, *J.H. Wu*, 1998)

- Élimination de l'équation sur R
→ Problème à une espèce scalaire

Cas particulier $m_i/a_i = \delta/b$

(Dim 1, *P. Waltmann*, 1993. Dim qcq, *J.H. Wu*, 1998)

- Élimination de l'équation sur R
 - Problème à une espèce scalaire
 - Résolution du problème à 2 espèces par bifurcation

Cas particulier $m_i/a_i = \delta/b$

(Dim 1, *P. Waltmann*, 1993. Dim qcq, *J.H. Wu*, 1998)

- Élimination de l'équation sur R
 - Problème à une espèce scalaire
 - Résolution du problème à 2 espèces par bifurcation

Cas général

(*J.V. Baxley et S.B. Robinson*, 1998)

- On pose $C_i(x) = c_i Q_i(x)$
- $(c_i)_i \in \mathbb{R}^N =$ paramètre de bifurcation
- Par bifurcation locale, coexistence pour $c_i^0 < c_i < c_i^0 + \varepsilon_i$

Cas particulier $m_i/a_i = \delta/b$

(Dim 1, *P. Waltmann*, 1993. Dim qcq, *J.H. Wu*, 1998)

- Élimination de l'équation sur R
 - Problème à une espèce scalaire
 - Résolution du problème à 2 espèces par bifurcation

Cas général

(*J.V. Baxley et S.B. Robinson*, 1998)

- On pose $C_i(x) = c_i Q_i(x)$
 - $(c_i)_i \in \mathbb{R}^N =$ paramètre de bifurcation
 - Par bifurcation locale, coexistence pour $c_i^0 < c_i < c_i^0 + \varepsilon_i$
- **Étendre le résultat de Baxley et Robinson pour tout c_i**
→ **Mieux comprendre ces solutions**

Bifurcation à partir d'une valeur propre simple (*Crandall et Rabinowitz, 1971*)

Bifurcation à partir d'une valeur propre simple

(Crandall et Rabinowitz, 1971)

- 1 Problème de point fixe (dépendant de $c \in \mathbb{R}$) : $T(c, \mathbf{W}) = \mathbf{W}$

Bifurcation à partir d'une valeur propre simple

(Crandall et Rabinowitz, 1971)

- 1 Problème de point fixe (dépendant de $c \in \mathbb{R}$) : $T(c, \mathbf{W}) = \mathbf{W}$
- 2 $\forall c \in \mathbb{R}, T(c, 0) = 0$

Bifurcation à partir d'une valeur propre simple

(Crandall et Rabinowitz, 1971)

- 1 Problème de point fixe (dépendant de $c \in \mathbb{R}$) : $T(c, \mathbf{W}) = \mathbf{W}$
- 2 $\forall c \in \mathbb{R}, T(c, 0) = 0$
- 3 $T(c, \cdot) = \underbrace{\mathcal{K}(c)}_{\text{Linéaire compact}} + \underbrace{G(c, \cdot)}_{\text{Dérivée nulle en 0}}$

Bifurcation à partir d'une valeur propre simple

(Crandall et Rabinowitz, 1971)

- 1 Problème de point fixe (dépendant de $c \in \mathbb{R}$) : $T(c, \mathbf{W}) = \mathbf{W}$
- 2 $\forall c \in \mathbb{R}, T(c, 0) = 0$
- 3 $T(c, \cdot) = \underbrace{\mathcal{K}(c)}_{\text{Linéaire compact}} + \underbrace{G(c, \cdot)}_{\text{Dérivée nulle en 0}}$

Proposition

S'il existe c_0 telle que 0 soit valeur propre simple de $I - \mathcal{K}(c_0)$ et $\ker(I - \mathcal{K}(c_0))$ soit engendré par ϕ_0 alors on a une solution de bifurcation au voisinage de c_0 de la forme $\mathbf{W} = s(\phi_0 + \widetilde{\mathbf{W}}(s))$.

Zéro espèce : la solution triviale

Proposition

Soit $S = B^{-1}I$ (la solution du problème à 0 espèce). Alors $(0, \dots, 0, S)$ est solution triviale de (S_N) et si (U_1, \dots, U_N, R) est une solution positive non triviale de (S_N) , alors $R < S$.

Zéro espèce : la solution triviale

Proposition

Soit $S = B^{-1}I$ (la solution du problème à 0 espèce). Alors $(0, \dots, 0, S)$ est solution triviale de (S_N) et si (U_1, \dots, U_N, R) est une solution positive non triviale de (S_N) , alors $R < S$.

Objectif : Bifurcations successives à partir de la solution triviale

Plan

- 1 Modélisation et premiers résultats
 - Problème homogène
 - Problème de réaction-diffusion
 - Premiers résultats et problématique
- 2 Construction des solutions du problème stationnaire
 - Préliminaire
 - Une espèce
 - Deux espèces
- 3 Étude qualitative et interprétation
 - Comportement de c_1^* et c_2^*
 - Retour à la variation de la diffusion
- 4 Conclusion

On pose $C_1(x) = cQ_1(x)$. $c \in \mathbb{R}^+$ est le paramètre de bifurcation.
On s'intéresse aux solutions positives du problème :

$$(S_1^c) \begin{cases} A_1 U - cQ_1 R U = 0 \\ BR + cQ_1 U R = I \\ \partial_\eta U = \partial_\eta R = 0 \end{cases} \Leftrightarrow F_c(U, R) = 0$$

On pose $C_1(x) = cQ_1(x)$. $c \in \mathbb{R}^+$ est le paramètre de bifurcation.
On s'intéresse aux solutions positives du problème :

$$(S_1^c) \begin{cases} A_1 U - cQ_1 R U = 0 \\ BR + cQ_1 U R = I \\ \partial_\eta U = \partial_\eta R = 0 \end{cases} \Leftrightarrow F_c(U, R) = 0$$

On note \mathcal{L}_c la dérivée de F_c en $(0, S)$

On pose $C_1(x) = cQ_1(x)$. $c \in \mathbb{R}^+$ est le paramètre de bifurcation.
On s'intéresse aux solutions positives du problème :

$$(S_1^c) \begin{cases} A_1 U - cQ_1 R U = 0 \\ BR + cQ_1 U R = I \\ \partial_\eta U = \partial_\eta R = 0 \end{cases} \Leftrightarrow F_c(U, R) = 0$$

On note \mathcal{L}_c la dérivée de F_c en $(0, S)$

On se ramène à $(0, 0)$ solution trivial : $r = S - R$

On pose $C_1(x) = cQ_1(x)$. $c \in \mathbb{R}^+$ est le paramètre de bifurcation.
 On s'intéresse aux solutions positives du problème :

$$(S_1^c) \begin{cases} A_1 U - cQ_1 R U = 0 \\ BR + cQ_1 U R = I \\ \partial_\eta U = \partial_\eta R = 0 \end{cases} \Leftrightarrow F_c(U, R) = 0$$

On note \mathcal{L}_c la dérivée de F_c en $(0, S)$

On se ramène à $(0, 0)$ solution trivial : $r = S - R$

$(U, R) > 0$ solution de (S_1^c) équivaut à $(U, r) > 0$ solution de :

$$(U, r) = \mathcal{K}(c)(U, r) + G(c, U, r) = T(c, (U, r))$$

$$\text{Ainsi } \mathcal{L}_c = \begin{bmatrix} A_1 & 0 \\ 0 & B \end{bmatrix} (I - \mathcal{K}(c))$$

Théorème (de bifurcation locale)

$\exists c_0, \varepsilon > 0$, $c : (-\varepsilon, \varepsilon) \rightarrow \mathbb{R}$ et $\hat{u}, \hat{r} : (-\varepsilon, \varepsilon) \rightarrow C^1(\Omega)$ telles que l'unique solution de (S_1^c) pour $|c - c_0| \ll 1$ est $(c, U, R) = (c(s), s(\phi_0 + \hat{u}(s)), S - s(\psi_0 + \hat{r}(s)))$.
On note $\mathcal{C}_\varepsilon = \{(c(s), U(s), R(s)), 0 < s < \varepsilon\}$
De plus pour $s > 0$, $(U(s), R(s)) > 0$ et cette solution est linéairement stable.

Démonstration :
Linéarisé en $(0, 0)$,

$$(\phi, \rho) = \mathcal{K}(c)(\phi, \rho) \Leftrightarrow \begin{cases} A_1\phi - cQ_1S\phi = 0 \\ B\rho - cQ_1S\phi = 0 \end{cases}$$

Démonstration :

Linéarisé en $(0, 0)$,

$$(\phi, \rho) = \mathcal{K}(c)(\phi, \rho) \Leftrightarrow \begin{cases} A_1\phi - cQ_1S\phi = 0 \\ B\rho - cQ_1S\phi = 0 \end{cases}$$

- $A_1\phi - cQS\phi = 0 \rightarrow$ valeur propre principale c_0 et fonction propre associée $\phi_0 > 0$

Démonstration :Linéarisé en $(0, 0)$,

$$(\phi, \rho) = \mathcal{K}(c)(\phi, \rho) \Leftrightarrow \begin{cases} A_1\phi - cQ_1S\phi = 0 \\ B\rho - cQ_1S\phi = 0 \end{cases}$$

- $A_1\phi - cQS\phi = 0 \rightarrow$ valeur propre principale c_0 et fonction propre associée $\phi_0 > 0$
- $\rho_0 = B^{-1}(c_0S\phi_0) > 0$ et $\ker(\mathcal{L}_{c_0}) = \text{vect} \left(\begin{pmatrix} \phi_0 \\ \rho_0 \end{pmatrix} \right)$

Démonstration :Linéarisé en $(0, 0)$,

$$(\phi, \rho) = \mathcal{K}(c)(\phi, \rho) \Leftrightarrow \begin{cases} A_1\phi - cQ_1S\phi = 0 \\ B\rho - cQ_1S\phi = 0 \end{cases}$$

- $A_1\phi - cQS\phi = 0 \rightarrow$ valeur propre principale c_0 et fonction propre associée $\phi_0 > 0$
- $\rho_0 = B^{-1}(c_0S\phi_0) > 0$ et $\ker(\mathcal{L}_{c_0}) = \text{vect} \left(\begin{pmatrix} \phi_0 \\ \rho_0 \end{pmatrix} \right)$
- $R < S \Rightarrow c > c_0 \Rightarrow$ stabilité

Soit \mathcal{C} la courbe maximale contenant \mathcal{C}_ε

Théorème (de bifurcation globale)

Pour tout $c > c_0$, (\mathcal{S}_1^c) admet une solution positive non triviale (U, R) telle que $(c, U, R) \in \mathcal{C}$

Soit \mathcal{C} la courbe maximale contenant \mathcal{C}_ε

Théorème (de bifurcation globale)

Pour tout $c > c_0$, (\mathcal{S}_1^c) admet une solution positive non triviale (U, R) telle que $(c, U, R) \in \mathcal{C}$

- Théorème de bifurcation globale de Rabinowitz

Soit \mathcal{C} la courbe maximale contenant \mathcal{C}_ε

Théorème (de bifurcation globale)

Pour tout $c > c_0$, (\mathcal{S}_1^c) admet une solution positive non triviale (U, R) telle que $(c, U, R) \in \mathcal{C}$

- Théorème de bifurcation globale de Rabinowitz
- Positivité (principe du maximum)

Soit \mathcal{C} la courbe maximale contenant \mathcal{C}_ε

Théorème (de bifurcation globale)

Pour tout $c > c_0$, (\mathcal{S}_1^c) admet une solution positive non triviale (U, R) telle que $(c, U, R) \in \mathcal{C}$

- Théorème de bifurcation globale de Rabinowitz
- Positivité (principe du maximum)
- Non bornée en c

$$(U, R) \text{ solution de } (\mathcal{S}_1^c) \Leftrightarrow F_c(U, R) = 0$$

Proposition

Soit c fixée, et $(c, U, R) \in \mathcal{C}$. Soit \mathcal{L}_c la dérivée de Fréchet de F_c en (U, R) .

0 n'est pas valeur propre de \mathcal{L}_c .

$$(U, R) \text{ solution de } (\mathcal{S}_1^c) \Leftrightarrow F_c(U, R) = 0$$

Proposition

Soit c fixée, et $(c, U, R) \in \mathcal{C}$. Soit \mathcal{L}_c la dérivée de Fréchet de F_c en (U, R) .

0 n'est pas valeur propre de \mathcal{L}_c .

Conséquences :

- Pas de bifurcation le long de \mathcal{C}

$$(U, R) \text{ solution de } (\mathcal{S}_1^c) \Leftrightarrow F_c(U, R) = 0$$

Proposition

Soit c fixée, et $(c, U, R) \in \mathcal{C}$. Soit \mathcal{L}_c la dérivée de Fréchet de F_c en (U, R) .

0 n'est pas valeur propre de \mathcal{L}_c .

Conséquences :

- Pas de bifurcation le long de \mathcal{C}
- Pas de "point de rebroussement"

(U, R) solution de $(S_1^c) \Leftrightarrow F_c(U, R) = 0$

Proposition

Soit c fixée, et $(c, U, R) \in \mathcal{C}$. Soit \mathcal{L}_c la dérivée de Fréchet de F_c en (U, R) .

0 n'est pas valeur propre de \mathcal{L}_c .

Conséquences :

- Pas de bifurcation le long de \mathcal{C}
- Pas de "point de rebroussement"
- \mathcal{L}_c inversible \Rightarrow Bifurcation pour le problème à deux espèces (S_2)

Plan

- 1 Modélisation et premiers résultats
 - Problème homogène
 - Problème de réaction-diffusion
 - Premiers résultats et problématique
- 2 Construction des solutions du problème stationnaire
 - Préliminaire
 - Une espèce
 - Deux espèces
- 3 Étude qualitative et interprétation
 - Comportement de c_1^* et c_2^*
 - Retour à la variation de la diffusion
- 4 Conclusion

Problème :

$$(S_2) \begin{cases} A_1 U - c_1 Q_1 R U = 0 \\ A_2 V - c_2 Q_2 R V = 0 \\ BR + c_1 Q_1 R U + c_2 Q_2 R V = I \\ \partial_\eta U = \partial_\eta V = \partial_\eta R = 0 \end{cases}$$

Problème :

$$(S_2) \begin{cases} A_1 U - c_1 Q_1 R U = 0 \\ A_2 V - c_2 Q_2 R V = 0 \\ BR + c_1 Q_1 R U + c_2 Q_2 R V = I \\ \partial_\eta U = \partial_\eta V = \partial_\eta R = 0 \end{cases}$$

- Solution triviale $(0, 0, S)$

Problème :

$$(S_2) \begin{cases} A_1 U - c_1 Q_1 R U = 0 \\ A_2 V - c_2 Q_2 R V = 0 \\ BR + c_1 Q_1 R U + c_2 Q_2 R V = I \\ \partial_\eta U = \partial_\eta V = \partial_\eta R = 0 \end{cases}$$

- Solution triviale $(0, 0, S)$
- Solutions semi-triviales
 - 1 $\mathcal{C}_1: c_1 > c_1^0 \Rightarrow (U^*, 0, R^*)$
 - 2 $\mathcal{C}_2: c_2 > c_2^0 \Rightarrow (0, V^{**}, R^{**})$

Problème :

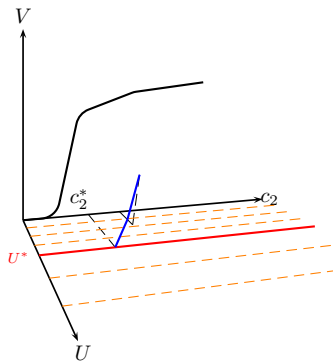
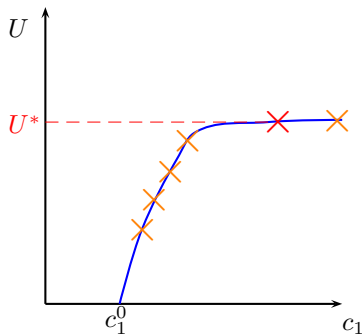
$$(S_2) \begin{cases} A_1 U - c_1 Q_1 R U = 0 \\ A_2 V - c_2 Q_2 R V = 0 \\ BR + c_1 Q_1 R U + c_2 Q_2 R V = I \\ \partial_\eta U = \partial_\eta V = \partial_\eta R = 0 \end{cases}$$

- Solution triviale $(0, 0, S)$
- Solutions semi-triviales
 - 1 $\mathcal{C}_1: c_1 > c_1^0 \Rightarrow (U^*, 0, R^*)$
 - 2 $\mathcal{C}_2: c_2 > c_2^0 \Rightarrow (0, V^{**}, R^{**})$
- **Solution non triviale ?**

$c_1 > c_1^0$ fixe. $(c_1, U^*, 0, R^*) \in \mathcal{C}_1$. c_2 paramètre de bifurcation

Théorème (de bifurcation locale)

$\exists c_2^* > c_2^0$, $|c_2 - c_2^*| \ll 1 \Rightarrow (U(s), V(s), R(s))$ unique solution non triviale de (S_2) .



Démonstration : \mathcal{L}_{c_2} la dérivée en $(U^*, 0, R^*)$

$$\mathcal{L}_{c_2} \begin{pmatrix} \phi \\ \psi \\ \rho \end{pmatrix} = 0 \quad \Leftrightarrow \quad \begin{cases} A_2 \psi - c_2 Q_2 R^* \psi = 0 \\ A_1 \phi - c_1 Q_1 R^* \phi - c_1 Q_1 U^* \rho = 0 \\ B \rho + c_1 Q_1 U^* \rho + c_1 Q_1 R^* \phi - c_2 Q_2 R^* \psi = 0 \end{cases}$$

Démonstration : \mathcal{L}_{c_2} la dérivée en $(U^*, 0, R^*)$

$$\mathcal{L}_{c_2} \begin{pmatrix} \phi \\ \psi \\ \rho \end{pmatrix} = 0 \quad \Leftrightarrow \quad \begin{cases} A_2\psi - c_2Q_2R^*\psi = 0 \\ A_1\phi - c_1Q_1R^*\phi - c_1Q_1U^*\rho = 0 \\ B\rho + c_1Q_1U^*\rho + c_1Q_1R^*\phi - c_2Q_2R^*\psi = 0 \end{cases}$$

Démonstration : \mathcal{L}_{c_2} la dérivée en $(U^*, 0, R^*)$

$$\mathcal{L}_{c_2} \begin{pmatrix} \phi \\ \psi \\ \rho \end{pmatrix} = 0 \Leftrightarrow \begin{cases} A_2\psi - c_2Q_2R^*\psi = 0 \\ A_1\phi - c_1Q_1R^*\phi - c_1Q_1U^*\rho = 0 \\ B\rho + c_1Q_1U^*\rho + c_1Q_1R^*\phi - c_2Q_2R^*\psi = 0 \end{cases}$$

- $A_2\psi - c_2Q_2R^*\psi = 0 \Rightarrow c_2^*$ et $\psi_0 > 0$

Démonstration : \mathcal{L}_{c_2} la dérivée en $(U^*, 0, R^*)$

$$\mathcal{L}_{c_2} \begin{pmatrix} \phi \\ \psi \\ \rho \end{pmatrix} = 0 \Leftrightarrow \begin{cases} A_2\psi - c_2Q_2R^*\psi = 0 \\ A_1\phi - c_1Q_1R^*\phi - c_1Q_1U^*\rho = 0 \\ B\rho + c_1Q_1U^*\rho + c_1Q_1R^*\phi - c_2Q_2R^*\psi = 0 \end{cases}$$

- $A_2\psi - c_2Q_2R^*\psi = 0 \Rightarrow c_2^*$ et $\psi_0 > 0$

- $\mathcal{L}_{(U^*, R^*)}^1 \begin{pmatrix} \phi \\ \rho \end{pmatrix} = \begin{pmatrix} 0 \\ c_2^*Q_2R^*\psi_0 \end{pmatrix}$

Démonstration : \mathcal{L}_{c_2} la dérivée en $(U^*, 0, R^*)$

$$\mathcal{L}_{c_2} \begin{pmatrix} \phi \\ \psi \\ \rho \end{pmatrix} = 0 \Leftrightarrow \begin{cases} A_2\psi - c_2Q_2R^*\psi = 0 \\ A_1\phi - c_1Q_1R^*\phi - c_1Q_1U^*\rho = 0 \\ B\rho + c_1Q_1U^*\rho + c_1Q_1R^*\phi - c_2Q_2R^*\psi = 0 \end{cases}$$

- $A_2\psi - c_2Q_2R^*\psi = 0 \Rightarrow c_2^*$ et $\psi_0 > 0$
- $\mathcal{L}_{(U^*, R^*)}^1 \begin{pmatrix} \phi \\ \rho \end{pmatrix} = \begin{pmatrix} 0 \\ c_2^*Q_2R^*\psi_0 \end{pmatrix}$
- $\mathcal{L}_{(U^*, R^*)}^1$ inversible $\Rightarrow \phi_0$ et ρ_0 (non > 0 a priori)

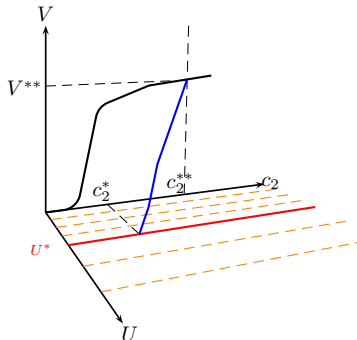
Démonstration : \mathcal{L}_{c_2} la dérivée en $(U^*, 0, R^*)$

$$\mathcal{L}_{c_2} \begin{pmatrix} \phi \\ \psi \\ \rho \end{pmatrix} = 0 \Leftrightarrow \begin{cases} A_2\psi - c_2 Q_2 R^* \psi = 0 \\ A_1\phi - c_1 Q_1 R^* \phi - c_1 Q_1 U^* \rho = 0 \\ B\rho + c_1 Q_1 U^* \rho + c_1 Q_1 R^* \phi - c_2 Q_2 R^* \psi = 0 \end{cases}$$

- $A_2\psi - c_2 Q_2 R^* \psi = 0 \Rightarrow c_2^*$ et $\psi_0 > 0$
- $\mathcal{L}_{(U^*, R^*)}^1 \begin{pmatrix} \phi \\ \rho \end{pmatrix} = \begin{pmatrix} 0 \\ c_2^* Q_2 R^* \psi_0 \end{pmatrix}$
- $\mathcal{L}_{(U^*, R^*)}^1$ inversible $\Rightarrow \phi_0$ et ρ_0 (non > 0 a priori)
- $\ker(\mathcal{L}_{c_2}) = \text{vect}((\phi_0, \psi_0, \rho_0))$

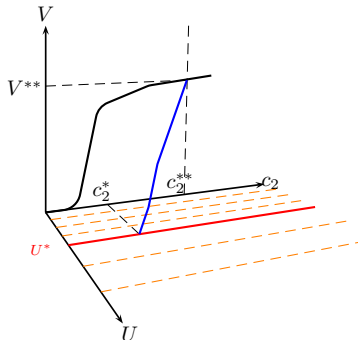
Théorème (de bifurcation globale)

Il existe une courbe de bifurcation \mathcal{C}_{12} reliant le point $(c_2^*, U^*, 0, R^*)$ à un point $(c_2^{**}, 0, V^{**}, R^{**}) \in \mathcal{C}_2$.



Théorème (de bifurcation globale)

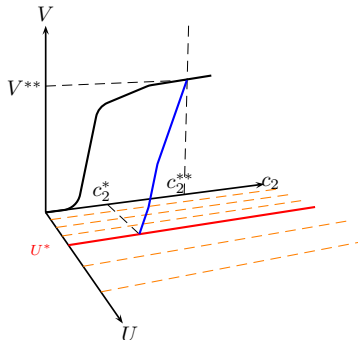
Il existe une courbe de bifurcation \mathcal{C}_{12} reliant le point $(c_2^*, U^*, 0, R^*)$ à un point $(c_2^{**}, 0, V^{**}, R^{**}) \in \mathcal{C}_2$.



- Théorème de bifurcation globale. Positivité par principe du maximum

Théorème (de bifurcation globale)

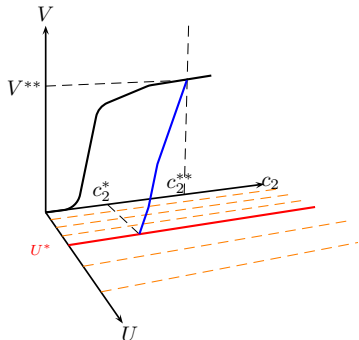
Il existe une courbe de bifurcation \mathcal{C}_{12} reliant le point $(c_2^*, U^*, 0, R^*)$ à un point $(c_2^{**}, 0, V^{**}, R^{**}) \in \mathcal{C}_2$.



- Théorème de bifurcation globale. Positivité par principe du maximum
- Bornée

Théorème (de bifurcation globale)

Il existe une courbe de bifurcation \mathcal{C}_{12} reliant le point $(c_2^*, U^*, 0, R^*)$ à un point $(c_2^{**}, 0, V^{**}, R^{**}) \in \mathcal{C}_2$.



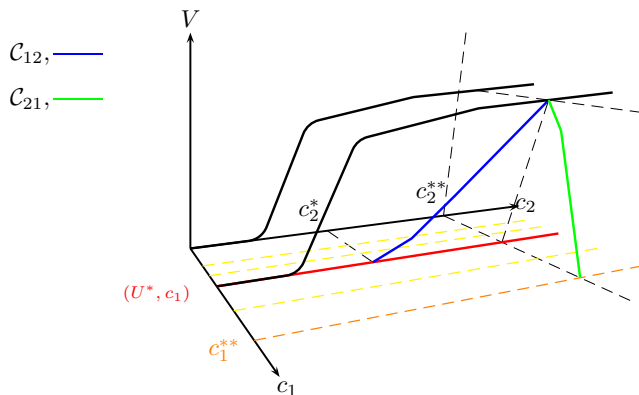
- Théorème de bifurcation globale. Positivité par principe du maximum
- Bornée
- Pas d'unicité \rightarrow calcul des indices

Plan

- 1 Modélisation et premiers résultats
 - Problème homogène
 - Problème de réaction-diffusion
 - Premiers résultats et problématique
- 2 Construction des solutions du problème stationnaire
 - Préliminaire
 - Une espèce
 - Deux espèces
- 3 Étude qualitative et interprétation
 - Comportement de c_1^* et c_2^*
 - Retour à la variation de la diffusion
- 4 Conclusion

Théorème (c_1 paramètre de bifurcation)

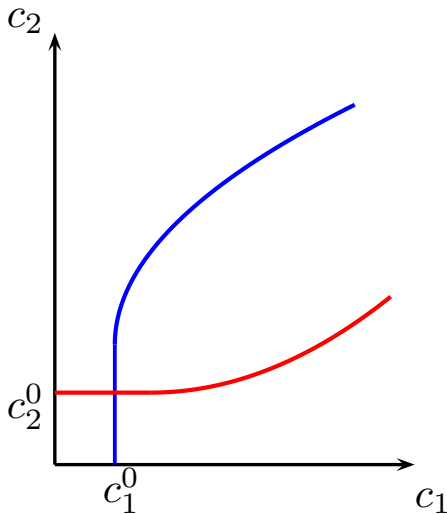
Il existe une courbe de bifurcation \mathcal{C}_{21} reliant le point $(c_1^*, 0, V^*, R^*)$ à un point $(c_1^{**}, U^{**}, 0, R^{**}) \in \mathcal{C}_1$.



Ainsi c_2^{**} est définie par $c_1^*(c_2^{**}) = c_1$

$$c_1 \rightarrow c_2^*(c_1) \text{ ————}$$

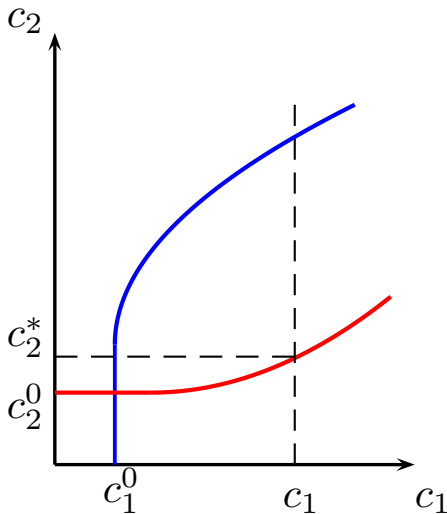
$$c_2 \rightarrow c_1^*(c_2) \text{ ————}$$



Ainsi c_2^{**} est définie par $c_1^*(c_2^{**}) = c_1$

$$c_1 \rightarrow c_2^*(c_1) \text{ ——— red ———}$$

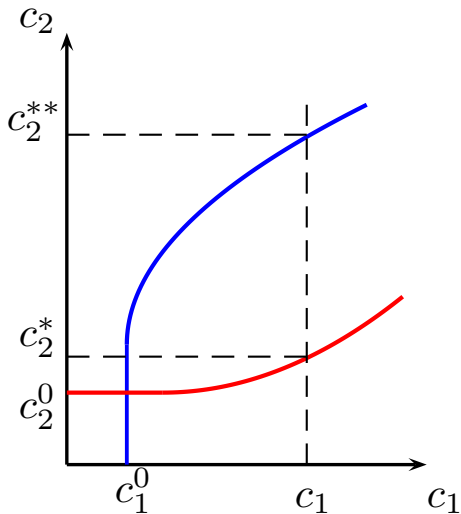
$$c_2 \rightarrow c_1^*(c_2) \text{ ——— blue ———}$$



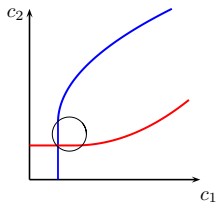
Ainsi c_2^{**} est définie par $c_1^*(c_2^{**}) = c_1$

$$c_1 \rightarrow c_2^*(c_1) \text{ ———— (red line)}$$

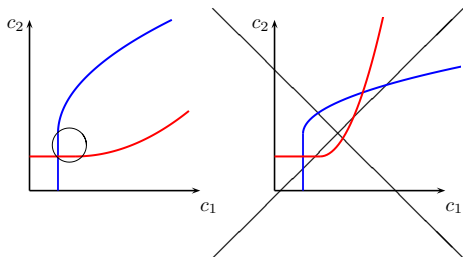
$$c_2 \rightarrow c_1^*(c_2) \text{ ———— (blue line)}$$



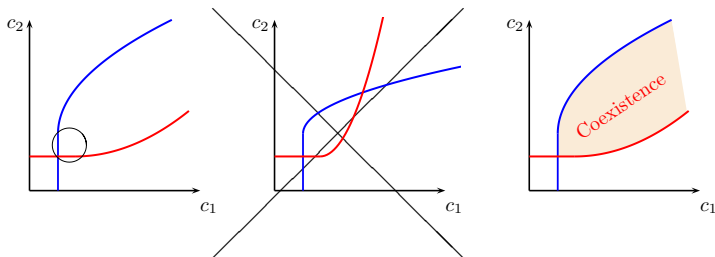
- Baxley et Robinson \rightarrow résultat local



- Baxley et Robinson \rightarrow résultat local
- Croisement seulement en $(c_1^0, c_2^0) \Rightarrow c_2^* < c_2^{**}$



- Baxley et Robinson \rightarrow résultat local
- Croisement seulement en $(c_1^0, c_2^0) \Rightarrow c_2^* < c_2^{**}$
- Coexistence pour $c_2^* < c_2 < c_2^{**}$

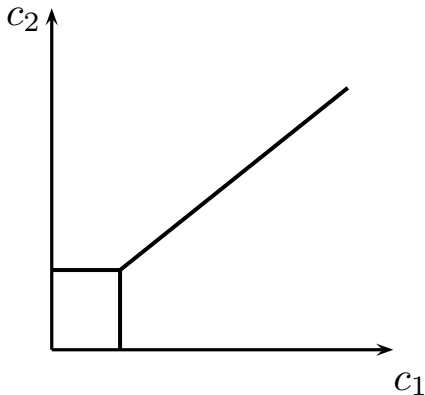


Plan

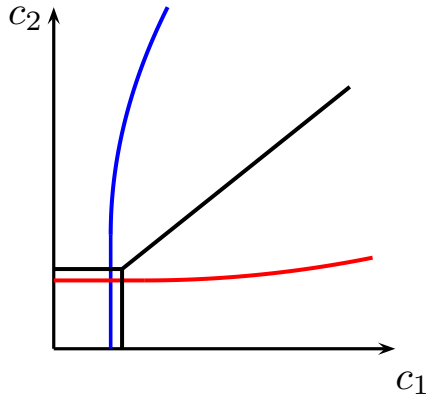
- 1 Modélisation et premiers résultats
 - Problème homogène
 - Problème de réaction-diffusion
 - Premiers résultats et problématique
- 2 Construction des solutions du problème stationnaire
 - Préliminaire
 - Une espèce
 - Deux espèces
- 3 Étude qualitative et interprétation
 - Comportement de c_1^* et c_2^*
 - Retour à la variation de la diffusion
- 4 Conclusion

- Diffusion tendant vers $+\infty$ Problème agrégé (stationnaire)

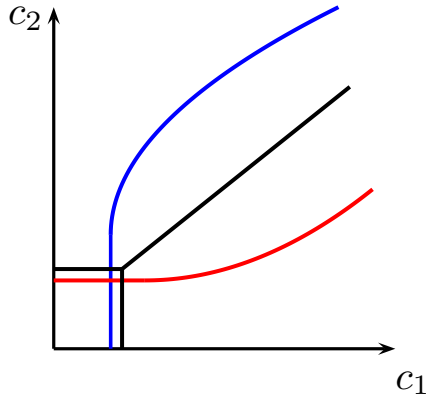
$$\rightarrow c_1^* = \alpha c_2^*$$



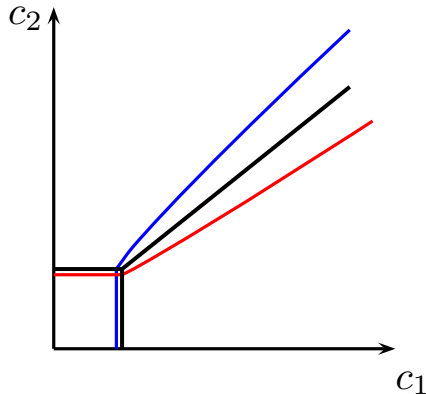
- **Diffusion tendant vers $+\infty$** Problème agrégé (stationnaire)
→ $c_1^* = \alpha c_2^*$
- Convergence du domaine vers cette droite



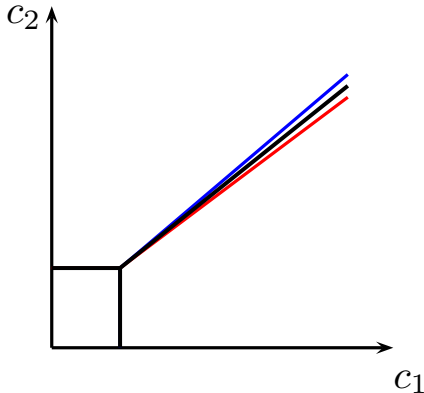
- **Diffusion tendant vers $+\infty$** Problème agrégé (stationnaire)
→ $c_1^* = \alpha c_2^*$
- Convergence du domaine vers cette droite



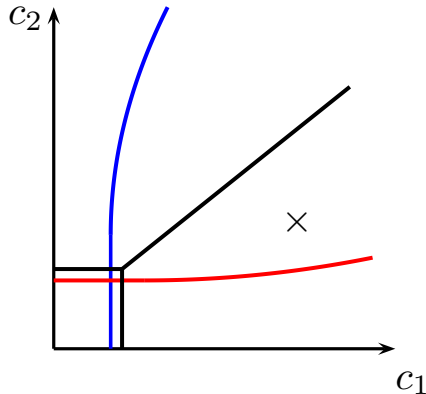
- **Diffusion tendant vers $+\infty$** Problème agrégé (stationnaire)
→ $c_1^* = \alpha c_2^*$
- Convergence du domaine vers cette droite



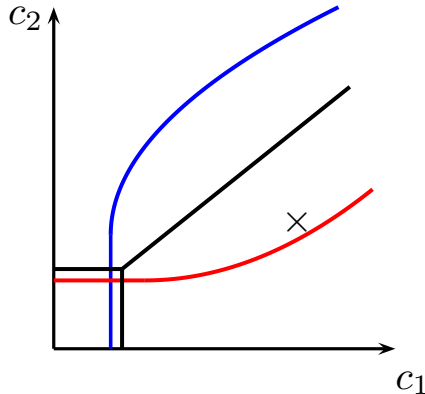
- **Diffusion tendant vers $+\infty$** Problème agrégé (stationnaire)
→ $c_1^* = \alpha c_2^*$
- Convergence du domaine vers cette droite



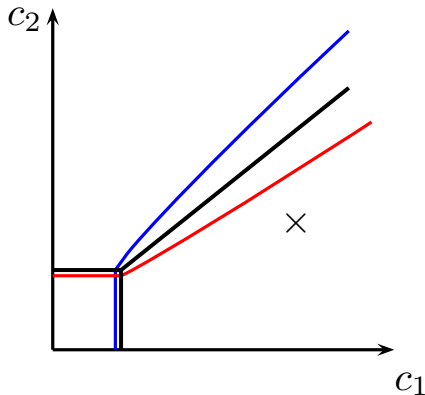
- **Diffusion tendant vers $+\infty$** Problème agrégé (stationnaire)
 $\rightarrow c_1^* = \alpha c_2^*$
- Convergence du domaine vers cette droite
- (c_1, c_2) fixé \rightarrow seuil limite de diffusion



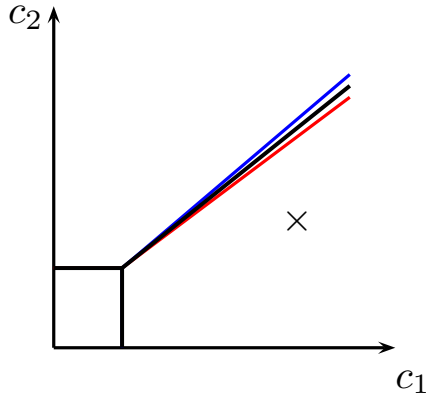
- **Diffusion tendant vers $+\infty$** Problème agrégé (stationnaire)
 $\rightarrow c_1^* = \alpha c_2^*$
- Convergence du domaine vers cette droite
- (c_1, c_2) fixé \rightarrow seuil limite de diffusion



- **Diffusion tendant vers $+\infty$** Problème agrégé (stationnaire)
 $\rightarrow c_1^* = \alpha c_2^*$
- Convergence du domaine vers cette droite
- (c_1, c_2) fixé \rightarrow seuil limite de diffusion



- **Diffusion tendant vers $+\infty$** Problème agrégé (stationnaire)
 $\rightarrow c_1^* = \alpha c_2^*$
- Convergence du domaine vers cette droite
- (c_1, c_2) fixé \rightarrow seuil limite de diffusion



Résultats

- Obtention de solutions positives de coexistence dans le Chemostat non homogène
- Construction valable pour N espèces
- Obtention de seuils critiques calculables numériquement caractérisant la possibilité de coexistence

Résultats

- Obtention de solutions positives de coexistence dans le Chemostat non homogène
- Construction valable pour N espèces
- Obtention de seuils critiques calculables numériquement caractérisant la possibilité de coexistence

Perspectives

- Simulations de scénarii biologiquement réalistes et interprétation des résultats (influence des différents paramètres et de la géométrie)
- Unicité ?
- Liens avec le système d'évolution (stabilité, convergence vers cette solution ...)

Merci de votre attention